

УДК 533.916.03:621.039.61

© 1993 г. ДИМОВ Г. И., КАБАНЦЕВ А. А., КУЗЬМИН С. В.,
СОКОЛОВ В. Г., ТАСКАЕВ С. Ю.

ТЕРМОИЗОЛИРОВАННАЯ МИШЕННАЯ ПЛАЗМА В ПРОБКОТРОНЕ «АМБАЛ-Ю»

При заполнении открытых магнитных ловушек мишенной плазмой через пробку показана принципиальная возможность получения термобарьера между газоразрядным источником и образующейся при этом в пробкотроне плазменной мишенью. Без применения дополнительных систем нагрева (ВЧ мощность, нейтральные пучки, магнитная компрессия) в пробкотроне «Амбал-Ю» из квазистационарного плазменного источника с низкой температурой ~ 10 эВ получена горячая мишенная плазма с плотностью $\sim 3 \cdot 10^{13} \text{ см}^{-3}$ и температурой электронов более 50 эВ. Высокая температура ионов ($T_i/T_e > 1$) обусловлена их нагревом на неустойчивости Кельвина — Гельмгольца. В специально выбранной топологии магнитного поля в ловушке наблюдается термоизоляция от источника плазмы нагреваемого ионами электронного компонента. Измеренные распределения плотности, потенциала и температуры плазмы подтверждают наличие термобарьера, локализованного во входной пробке ловушки.

Введение

Одним из наиболее традиционных сценариев получения горячей плазмы в открытых магнитных ловушках предусматривается предварительное создание в них относительно холодной мишенной плазмы для последующего захвата на этой плазме инжектируемых атомарных пучков либо для нагрева ВЧ излучением. Заполнение ловушки мишенной плазмой чаще всего осуществляется с помощью газоразрядных источников, расположенных на торцах установки (рис. 1). В такой схеме плазма из источника проникает в ловушку через концевую магнитную пробку, двигаясь вдоль силовых линий в виде плазменной струи.

Важной характеристикой мишенной плазмы является температура электронов, определяющая как степень ионизации плазмы, так и энергетическое время жизни образующихся горячих ионов. Температура электронов в струях мишенной плазмы, измеренная различными методиками, составляет типичную для подобных импульсных дуговых источников величину ~ 10 эВ. В варианте работы с интенсивными нейтральными пучками на этапе предварительного накопления горячей плазмы (при работающем плазменном источнике) при такой низкой температуре электронов мишенной плазмы возникает серьезная проблема, связанная с относительно быстрым торможением горячих ионов на электронах. Так, при температуре электронов $T_e = 10$ эВ и плотности $n_e = 10^{14} \text{ см}^{-3}$ характерное время столкновительного обмена энергией между горячими ионами и электронами составляет

$$\tau_{ie} = \frac{3 \sqrt{m_e T_e^{3/2}}}{8 \sqrt{2\pi} n \lambda e^4} \frac{m_i}{m_e} \sim 10 \text{ мкс.} \quad (1)$$

Данный процесс может быть главным, определяющим энергетическое время жизни горячей плазмы. Хотя ионы эффективно отдают свою энергию

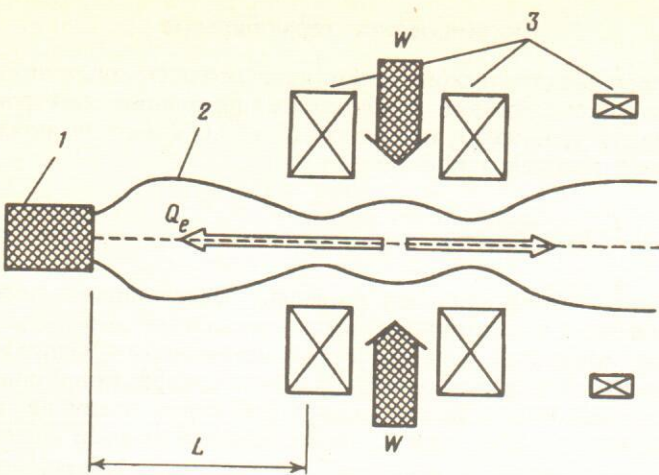


Рис. 1. Схема заполнения открытой ловушки мишенной плазмой: 1 — источник плазмы, 2 — плазменная струя, 3 — катушки магнитного поля ловушки

электронам, из-за значительных потерь тепла по каналу электронной теплопроводности на источник плазмы, где температура электронов практически фиксированная, значительного увеличения электронной температуры и соответственно энергетического времени жизни горячих ионов не происходит. Оценка величины перепада температур T_e между источником и ловушкой (см. рис. 1) при подводимой мощности $W \sim 1$ МВт, характерном диаметре плазмы ~ 10 см, расстоянии от источника до пробкотрона $L \sim 1$ м и указанных выше плотности и электронной температуры составляет ~ 10 эВ. С увеличением T_e этот перепад температур становится еще меньше (коэффициент электронной теплопроводности пропорционален $T_e^{5/2}$).

На установке «Амбал-Ю» [1] при работе по описанному выше сценарию была получена популяция ионно-горячей плазмы [2] со средней энергией ионов ~ 8 кэВ, плотностью $\sim 10^{13}$ см $^{-3}$ в объеме ~ 3 л. В указанных экспериментах энергия пучков атомов водорода составила 18 кэВ, а захваченный мишенней плазмой ток инжекции достигал 70 экв.А. Вычисленная при номинальном поле в пробкотроне $B \sim 0,67$ Тл средняя величина β составляла 9 %. Электронная температура мишенной плазмы была 10 эВ, прирост же T_e в течение атомарной инжекции не превышал приведенной выше оценки.

Для того чтобы избежать описанной ситуации и при работающем источнике мишенной плазмы с помощью атомарной инжекции получить более значительный прирост электронной температуры, необходимый для перехода к квазистационарному режиму накопления и поддержания горячей плазмы, требуется каким-то образом снизить мощность тепловых потерь по электронному каналу на дуговой источник.

Данная работа посвящена экспериментальной демонстрации возможности создания термобарьера, изолирующего электронный компонент в пробкотроне от плотной и холодной плазмы в запробочной области вблизи источника. Приведенный механизм образования термобарьера позволяет объяснить высокую (по сравнению с источником) ионную и электронную температуры плазмы в ловушке, полученные в данном эксперименте. По мнению авторов, аналогичные процессы имели место и в экспериментах на установке 2ХИВ [3], что и объясняет полученную там неожиданно высокую температуру $T_e \approx 40$ эВ в мишенной плазме от традиционного газоразрядного источника.

Формирование термобарьера

Профиль электростатического потенциала вдоль силовых линий магнитного поля для максвелловской функции распределения электронов можно найти, интегрируя уравнения, приведенные в [4]. В изотермическом случае имеем известное распределение Больцмана:

$$\varphi(z) = \varphi_0 + \frac{T_e}{e} \ln(n(z)/n_0). \quad (2)$$

Для образования потенциального барьера, разделяющего электроны по областям движения, достаточно создать локальный минимум плотности плазмы между ловушкой и плазменным источником. Возникающий при этом потенциальный горб для электронов будет эффективно снижать электронную теплопроводность вдоль плазменной струи в случае, если длина пробега электронов $\lambda_e > L_\varphi$, где L_φ — продольный размер потенциального горба. Следует подчеркнуть, что при $\lambda_e \ll L_\varphi$ электронная теплопроводность не зависит от наличия потенциального барьера.

Такой локальный минимум плотности может быть образован с помощью специального устройства, называемого «Gas-box» [3], т. е. путем дополнительного локального напуска газа в область транспортировки плазменной струи. Этот газ, ионизуясь, увеличивает концентрацию плазмы, и, следовательно, образуется локальный минимум плотности между местом инжекции пучков нейтралов и местом напуска газа (даже при однородной плотности мишленной плазмы). Другая возможность, реализованная в описываемых экспериментах, заключается в использовании специфических свойств газоразрядного источника, позволяющих получить плазменную струю с анизотропной функцией распределения ионов, и топологии магнитного поля ловушки.

Плазменный источник представляет собой помещенную в продольное магнитное поле газоразрядную коаксиальную ячейку [5]. Генерируемая плазма имеет типичные для таких источников параметры: плотность $n \sim 10^{14}$ см⁻³, температура как ионов, так и электронов $T \sim 10$ эВ, потоковая скорость $V \leq V_{Ti}$. Замагниченность электронного компонента приводит к выносу в плазменный поток напряжения на разряде, и в плазменной струе появляется неоднородное радиальное электрическое поле. Как было показано в [6], при дифференциальном вращении в скрещенных полях в плазменной струе развивается неустойчивость Кельвина — Гельмгольца (НКГ), которая эффективно греет ионы, и их температура возрастает до значений $T_i \sim 50$ эВ. Температура ионов (как продольная, так и поперечная) измерялась по рассеянию быстрых атомов на ионах плазмы, времязадерживающим и цезиевым энергоанализаторами нейтралов перед зарядкой, тройным макрозондом. Все перечисленные методики дают хорошо согласующиеся между собой результаты [7]. Дальнейший рост T_i ограничен теплообменом с электронами, температура которых мало изменяется на длине струи вследствие стока мощности нагрева на источник по электронной теплопроводности. Следует отметить, что, хотя на НКГ происходит накачка энергии в поперечную температуру, сильного различия в T_1 и T_{\parallel} не наблюдается [7], так как время релаксации температур при указанных параметрах плазмы составляет всего 3 мкс, что соответствует характерной длине релаксации по течению $\lambda_p \sim 10$ см.

В адиабатическом режиме течения плазменной струи в области увеличения ведущего магнитного поля (в пробке) функция распределения ионов становится анизотропной ($T_{\parallel} < T_1$), часть плазменного потока отражается, и происходит уменьшение плотности струи. Это приводит к росту времени выравнивания температур T_1 и T_{\parallel} , а их сильная анизотропия $T_1 > > T_{\parallel}$ поддерживаемая продолжающейся накачкой энергии в T_1 на НКГ, в свою очередь способствует дальнейшему уменьшению плотности. Таким образом,

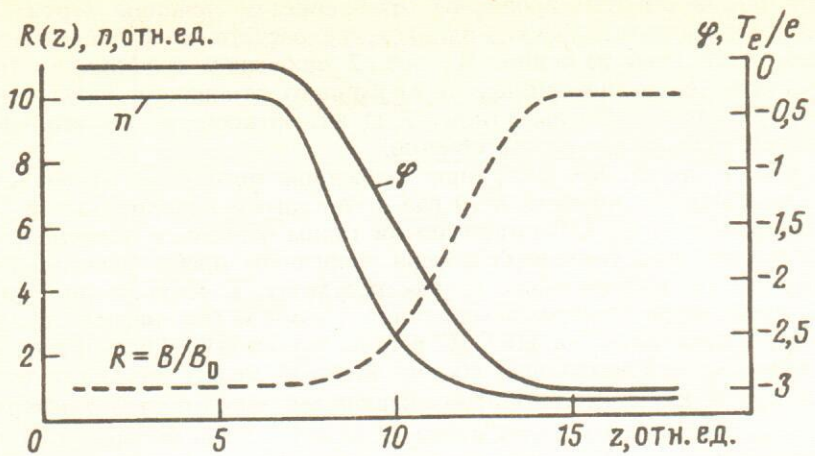


Рис. 2. Схема формирования потенциального барьера для электронов

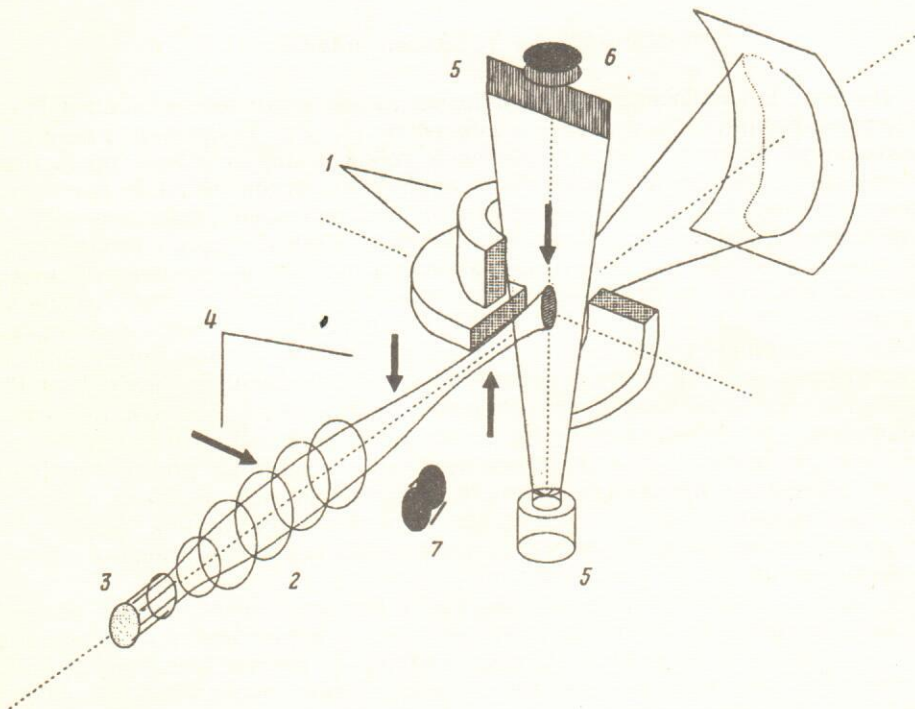


Рис. 3. Схема установки «Амбал-ЮМ»: 1 — катушки типа «Инь-Янь» магнитного поля пробкотрона; 2 — транспортирующий соленоид; 3 — источник плазмы; 4 — ленгмюровские тройные зонды; 5 — система диагностики по ослаблению нейтрального пучка; 6 — регистрация излучения H_{α} , определение температуры ионов по доплеровскому уширению линий нейтралов перед зарядкой; 7 — фотозелектронный спектрометр (ФЭС).

при достаточно быстром нарастании магнитного поля вдоль движения плазменной струи ($|B/(dB/dz)| < \lambda_p$) в области пробки образуется необходимый для формирования термобарьера минимум плотности плазмы, величина которого может быть аппроксимирована следующим скейлингом:

$$n(R) \sim n_0 (1 - \sqrt{1 - 1/R}), \quad (3)$$

где $R = B/B_0$ — текущее пробочное отношение по течению струи. Более точные и совершенные фоккер-планковские расчеты по балансу частиц в ловушке здесь явно излишни. На рис. 2 приведены графики плотности, электростатического потенциала и пробочного отношения вдоль течения плазменного потока. По известному $R(z)$ из соотношения (3) вычислялась $n(z)$, затем $\phi(z)$ из (2) соответственно.

Из рис. 2 видно, что даже при умеренном пробочном отношении ~ 5 можно иметь спад плотности в 10 раз и тем самым потенциальный барьер для электронов $\sim 2 T_e$. Сформированный таким образом в области входной пробки термобарьер уменьшает потери энергии из пробкотрона по каналу электронной теплопроводности и, как результат, в ловушке должна подняться температура электронов мишленной плазмы за счет нагрева последних от ионов, нагреваемых на НКГ. С ростом температуры электронов будет расти время столкновительного обмена энергией между ионами и электронами ($\sim T_e^{3/2}$) и, как следствие, произойдет дальнейший подъем температуры ионов, т. е. отрыв температуры ионов ($T_i/T_e > 1$, определяющийся балансом потоков энергии от ВЧ полей, генерируемых НКГ, к ионам и от ионов к электронам [7]) еще более возрастет.

Эксперимент на установке «Амбал-ЮМ»

На рис. 3 приведена принципиальная схема установки «Амбал-ЮМ» — модернизированной установки «Амбал-Ю» [1, 2]. Установка состоит из плазменной ловушки, представляющей собой квадрупольный пробкотрон «Инь-Янь» с абсолютным «min-B» и пробочным отношением 2. Магнитное поле в пробке 1,3 Тл. Плазменная струя из источника транспортируется через дополнительный соленоид, состоящий из пяти катушек с независимым питанием каждой, что позволяет изменять пробочное отношение между входной пробкой и соленоидом. Максимальное поле в этом соленоиде составляет $\sim 0,25$ Тл ($R_{\min} \sim 5$). В области перехода из бака источника в объем соленоида расположена система диафрагм, позволяющая при соответствующем выборе магнитного поля отсекать газоплазменное гало [2], образующееся в результате взаимодействия плазменной струи и вытекающего из источника рабочего газа (водорода). Большой объем бака $V \sim 1,6$ м³, в котором располагается источник, и система коллимирующих струю диафрагм позволили иметь в ловушке вблизи плазмы во время работы источника вакуум лучше 10^{-5} Тор. На приведенной схеме установки показаны средства диагностики плазмы, применявшиеся в данных экспериментах.

Распределение плотности плазмы вдоль струи показано на рис. 4. Здесь приведены также электронная температура T_e и магнитное поле. Плотность и температура электронов измерены тройными ленгмюровскими зондами и находятся в хорошем согласии с измерениями, проведенными ранее в подобных экспериментах в соленоиде [6]. Плотность плазмы в центре ловушки была отнормирована по ослаблению диагностического пучка нейтральных атомов. Видно, что плотность плазмы падает при течении в пробку и в минимуме составляет $\sim 10\%$ от плотности в соленоиде, что неплохо согласуется с оценкой по формуле (3). К центру ловушки плотность возрастает и, что главное, наблюдается значительное увеличение электронной температуры, которое было невозможно и не наблюдалось в экспериментах без термобарьера [2]. Электронная температура не меняется при течении плазменной струи из источника до пробки и составляет ≈ 10 эВ, поэтому в области пробки можно ожидать провала потенциала $\delta\phi \sim 2T_e \sim 20$ эВ. Измеренный профиль потенциала, приведенный на рис. 5, подтверждает это и свидетельствует о наличии потенциального барьера для электронов. Длительность разряда в плазменном источнике составляет 1,5 мс. После

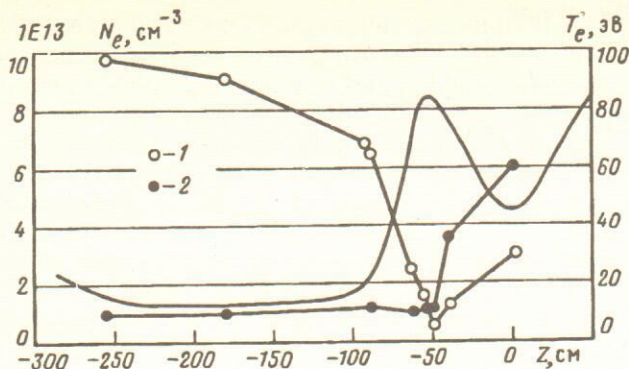


Рис. 4. Зависимость магнитного поля (сплошная линия), плотности плазмы (1) и электронной температуры (2) вдоль оси установки

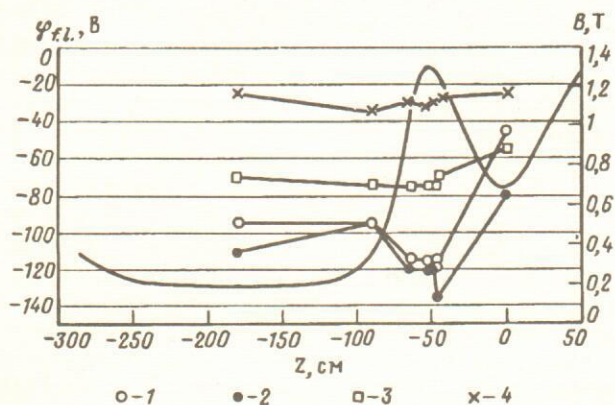


Рис. 5. Распределение потенциала вдоль оси установки в разные моменты времени ($t = 0$ — начало работы источника): 1 — $t = 0,5$ мс; 2 — $t = 0,8$; 3 — $t = 1,8$; 4 — $t = 2,1$. Сплошная линия — магнитное поле B

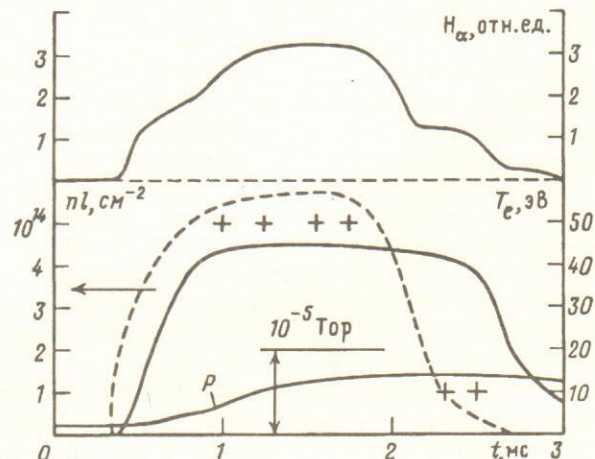


Рис. 6. Зависимости от времени в центре ловушки: давления газа P , линейной плотности плазмы nl (жирная линия), температуры электронов (крестики) и интенсивности излучения на линии H_α . Ток разряда источника — пунктирная линия

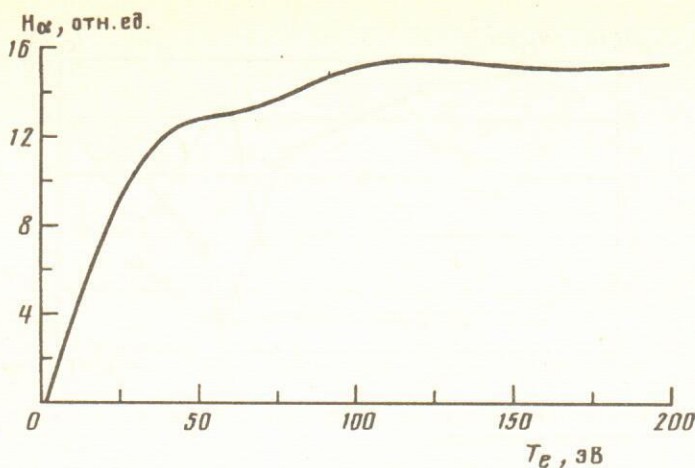


Рис. 7. Интенсивность свечения плазмы на линии H_{α} в зависимости от электронной температуры ($n_e = 2,5 \cdot 10^{13} \text{ см}^{-3}$, $n_a = 5,0 \cdot 10^9 \text{ см}^{-3}$)

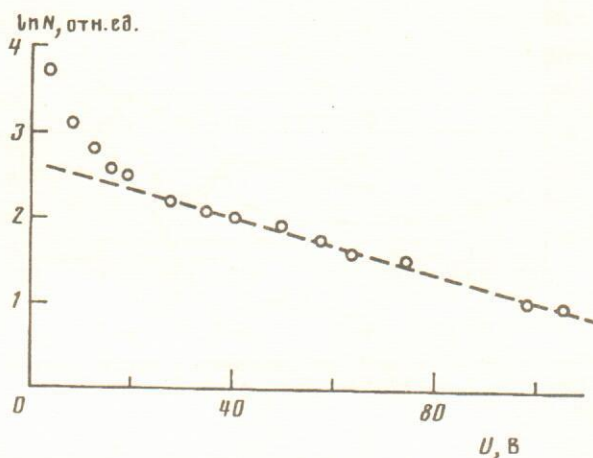


Рис. 8. Спектр рентгеновских фотоэлектронов $T_e = 58,3$ эВ

его окончания ($t > 1,5$ мс) исчезает задаваемое напряжением на разряде поперечное электрическое поле плазменной струи, прекращается активность на частотах НКГ, падает температура ионов [7] и исчезает потенциальный барьер для электронов (см. рис. 5).

Временные характеристики процессов в центре ловушки приведены на рис. 6. В течение работы дугового источника температура электронов в пробкотроне имеет значение $T_e \approx 50$ эВ. После выключения разряда в источнике плазма в ловушке поддерживается за счет вытекания холодной плазмы, накопленной в транспортирующей области. В это время процессы нагрева ионов на НКГ закончились, термобарьер исчезает, и электронная температура падает до уровня 10 эВ.

Кривая свечения плазмы на линии H_{α} подтверждает описываемый процесс. В начальный момент интенсивность свечения возрастает, что связано с увеличением плотности плазмы и давления водорода вокруг струи. Затем наблюдается падение как в сигнале излучения, так и в кривых концентрации плазмы и газа (см. рис. 6). После выключения дуги электронная температура понижается, соответственно уменьшается и свечение, и, наконец, с исчезновением плазмы исчезает свет. По методике и результатам работы [8]

построен график интенсивности излучения на линии H_{α} в зависимости от T_e при параметрах описываемого эксперимента (рис. 7). Перепад T_e после выключения источника, оцененный по графику рис. 7, дает величину $\Delta T_e \sim 30$ эВ, что неплохо подтверждает приведенные выше результаты. Оценка плотности атомов водорода внутри плазмы, сделанная по абсолютной интенсивности свечения H_{α} , дает величину $\sim 5 \cdot 10^9 \text{ см}^{-3}$, что при средней энергии горячих ионов $E_i \sim 10$ кэВ позволит иметь время жизни по перезарядке ~ 5 мс.

Измерения электронной температуры в центре ловушки проводились также и фотоэлектронным спектрометром, аналогичным [9]. Типичный спектр фотоэлектронов, порождаемых рентгеновским излучением плазмы, приведен на рис. 8.

Энергетическое время жизни горячих ионов при полученных параметрах мишенней плазмы ($n \sim 3 \cdot 10^{13} \text{ см}^{-3}$, $T_e \sim 50$ эВ), согласно (1), составит $t \sim 300$ мкс.

На приведенных выше графиках рис. 5 показано измеренное распределение плавающего потенциала плазмы φ_{pl} . Потенциал плазмы связан с плавающим потенциалом зависимостью $\varphi_p = \varphi_{pl} + kT_e/e$, где коэффициент k обычно принимается равным 2—3. Таким образом, потенциал изотермической холодной плазмы, а это вся транспортирующая область, включая термобарьер, сдвинут относительно плавающего потенциала на величину ~ 20 В. В центре ловушки для соответствия необходимо добавить величину ~ 100 В. Полученная в итоге амплитуда потенциального барьера для электронов в ловушке составляет величину масштаба 100—150 эВ. Поток тепла из центра ловушки можно оценить как $\sim nT_e V_{Te} S \exp(-e\Delta\varphi/T_e)$. Экспоненциальный множитель отражает наличие термобарьера и в нашем случае оказывается $\sim 0,1$. В предположении, что в присутствии термобарьера мощность нагрева ионов на НКГ сильно не изменяется (это предположение основано на неизменности характера наблюдаемых низкочастотных колебаний), в стационарном случае необходим вынос из центра ловушки того же самого потока тепла. Следовательно, электронная температура в ловушке должна вырасти в $0,1^{-2/3} \sim 5$ раз, что согласуется с экспериментом.

Заключение

Таким образом, при заполнении открытой магнитной ловушки мишенней плазмой через пробку показана принципиальная возможность получения термобарьера между газоразрядным источником и образующейся при этом в пробкотроне плазменной мишенью. Этот термобарьер поддерживается в течение всего рабочего импульса источника. Без применения дополнительных систем нагрева в пробкотроне «Амбал-Ю» из квазистационарного плазменного источника с низкой температурой $T \sim 10$ эВ получена горячая мишеннная плазма с плотностью $\sim 3 \cdot 10^{13} \text{ см}^{-3}$ и температурой электронов более 50 эВ.

Достигнутые в экспериментах газовые условия, когда концентрация холодного газа в плазме сравнима с концентрацией быстрых атомов при инжекции, позволяют для горячих захваченных ионов сделать несущественными потери, связанные с процессами перезарядки на холодном газе.

Список литературы

1. Димов Г. И.//Вопросы атомной науки и техники. Сер. Термоядерный синтез. 1988. Вып. 3. С. 13.
2. Bender E. D., Chupriyanov V. E., Dimov G. I. et al.//Proc. of the Workshop held at Varenna, Italy, 15—24 October 1990. P. 157.
3. Cohen B. I.//Status of Mirror Fusion Research 1980. UCAR 10049-80-Rev. 1. Р. А. 1—1.
4. Брагинский С. И.//Вопросы теории плазмы/Под ред. Леоновича М. А. М.: Атомиздат, 1963. Вып. 1. С. 191.

5. Димов Г. И., Иванов А. А., Росляков Г. В.//Физика плазмы. 1982. Т. 8. С. 58.
6. Кабанцев А. А., Таскаев С. Ю.//Физика плазмы. 1990. Т. 16. С. 700.
7. Кабанцев А. А., Таскаев С. Ю.//Физика плазмы. 1992. Т. 18. С. 634.
8. Абрамов В. А., Кузнецов Э. И., Коган В. И.//Атом. энергия. 1969. Т. 26. С. 516.
9. Gott Yu. V., Shurygin V. A.//17-th EPS Conf. on Controll. Fusion. Amsterdam, 25—29 June 1990. Contr. Papers. V. 4. P. 1612.

Институт ядерной физики
им. Г. И. Будкера
СО РАН

Поступила в редакцию
15.06.1992
Исправленный вариант
получен 31.08.1992